著

周围型肺癌在多层 螺旋CT诊断中的影 像学表现与术后病 理学诊断的一致性 分析

辽宁省铁岭市中心医院胸外科 (辽宁 铁岭 112000)

王宏亮 什 亮 赵

【摘要】目的 观察周围型肺癌 (peripheral lung cancer, PLC)在多层 螺旋CT (multisliecs helieal CT, MSCT) 诊断中的影像学表现,并分析其与术后病 理学诊断的一致性。方法 选取我院收治 的78例经病理证实的肺癌患者,术前均行 MSCT诊断, 以术后病理学为"金标准", 观察MSCT诊断PLC的结果与其一致性,总 结PLC在MSCT诊断中的影像学表现。结 # MSCT诊断PLC灵敏度86.67%, 特异度 84.85%, 准确性85.90%, Kappa值0.71; MSCT诊断正确的39例PLC患者影像学表现 为: 12例(30.77%)不规则斑片阴影, 27 例(69.23%)圆形或者类圆形阴影; 13例 (33.33%) 为实质高密度影, 18例(46.15%) 为低密度影, 8例(20.51%)密度不均匀; 16例(41.02%)呈现磨砂玻璃样结节,7例 (17.95%)呈现蜂房样结节,9例(23.08%) 空泡征样结节,7例(17.95%)呈现软组织 密度结节; 3例(7.69%)边缘光滑整齐, 36例 (92. 31%) 表现不光滑平整清晰 (毛刺 征、分叶征以及小泡征分别为13例、18 例、5例); 凹陷征与血管集束征分别为23 例(58.97%)、16例(41.03%)。 结论 MSCT 诊断PLC与术后病理学诊断结果具有较高 一致性,掌握PLC MSCT影像学表现,可为 PLC早期诊治提供有效依据。

【关键词】周围型肺癌; 多层螺旋CT; 影 像学表现; 病理学诊断 【中图分类号】R734.2; R445.3

【文献标识码】A

DOI: 10.3969/j.issn.1672-

5131. 2020. 04. 014

通讯作者: 付 亮

Imaging Findings of Peripheral Lung Cancer in Multi-slice Spiral CT Diagnosis and Its Consistency with Postoperative Pathological Diagnosis

FU Liang, WANG Hong-liang, ZHAO Yu. Department of Thoracic Surgery, Tieling Central Hospital, Tieling 112000, Liaoning Province, China

[Abstract] Objective To observe the imaging findings of peripheral lung cancer (PLC) in multi-slice spiral CT (MSCT) diagnosis, and to analyze its consistency with postoperative pathological diagnosis. *Methods* A total of 78 patients pathologically confirmed with lung cancer who were admitted to the hospital were enrolled. All patients underwent MSCT before operation. Taking the postoperative pathology as golden standard, the consistency between MSCT and postoperative pathology for the diagnosis of PLC was observed. The imaging findings of PLC in MSCT diagnosis were summarized. Results The sensitivity, specificity, accuracy and Kappa value of MSCT for the diagnosis of PLC were 86.67%, 84.85%, 85.90% and 0.71, respectively. The imaging findings of 39 PLC patients who were correctly diagnosed by MSCT were as follows: There were 12 cases (30.77%) with irregular patch shadows, 27 cases (69.23%) with round or round-like shadows, 13 cases (33.33%) with substantially high-density shadows, 18 cases (46.15%) with low-density shadows, 8 cases (20.51%) with uneven density, 16 cases (41.02%) with ground glass-like nodules, 7 cases (17.95%) with hive-like nodules, 9 cases (23.08%) with vacuolizationsign nodules, 7 cases (17.95%) with soft tissue density nodules, 3 cases (7.69%) with smooth and tidy edges and 36 cases (92.31%) showing unsmooth, flat and clear status (13 cases, 18 cases and 5 cases with burr sign, lobulation sign and vesicle sign, respectively). There were 23 cases (58.97%) and 16 cases (41.03%) with sulcus sign and vessel convergence sign, respectively. Conclusion The consistency between MSCT and postoperative pathology is relatively higher for diagnosis of PLC. Mastering MSCT imaging findings of PLC can provide effective basis for early diagnosis and treatment of PLC.

[Key words] Peripheral Lung Cancer; Multi-slice Spiral CT; Imaging Finding; Pathological Diagnosis; Consistency

肺癌为临床常见恶性肿瘤,可对人类正常生活造成严重影响。有 调查显示,其发病率表现出逐年升高趋势,患者病死率高[1-3]。早期诊 断可以提高肺癌病人生存时间,因而早发现、早治疗具有重要意义[4]。 周围型肺癌(peripheral lung cancer, PLC)主要指出现在三级支气管 以下直到呼吸性细支气管以上部位的肺癌,因为发病位置与肺门相距 较远,大部分患者早期没有明显症状,并且痰细胞学检查呈现阴性, 早期诊断通常依靠CT扫描,特别是多层螺旋CT(multisliecs helieal CT, MSCT), 已经在PLC诊断与鉴别中得到广泛应用。本文以78例经病 理证实的肺癌患者作为研究对象,探讨PLC在MSCT诊断中的影像学表 现,并与术后病理学诊断进行一致性分析。现汇报如下。

1 资料与方法

1.1 一般资料 选取2018年1月至2019年1月我院收治的78例肺癌 患者,均经病理学证实,纳入标准:①术前未予以放疗或化疗;②具 有完整临床资料、手术病理学诊断资料与影像学检查资料;③呼吸、 闭气均较满意,可以配合扫描;③术前行MSCT检查,无检查禁忌;

④具有手术适应症;⑤签署研究知情同意书;⑥本次研究达到伦理委员会有关审核要求。排除标准:①合并严重肝肾功能障碍或者恶病质;②过敏体质;③合并其他肿瘤;④伴随智力功能异常或精神疾病,不能配合诊治。其中男43例,女35例,患者年龄30~72岁,平均(50.13±6.89)岁;35例来院体检发现,30例长期咳嗽,痰液内有血入院接受检查发现,13例出现恶性消瘦改变,有典型肺癌体征而来院接受检查。

1.2 方法 使用64排螺旋 CT机(型号: 西门子Somatom Definition AS), 指导患者处于 仰卧位, 开始检查前需要训练其 平静呼吸以及屏气动作, 予以全 肺扫描,设置扫描参数如下: 电压120kV, 电流250mA, 层厚 5.0mm; 注意扫描范围应该从肺尖 至最深一侧相应肋隔角底部,如 果检查过程中发现肺内结节,需 予以薄层重建,设置重建间隔与 重建厚度均为1.25mm。其中肺窗 (窗宽与窗位: 1500HU、-500HU) 与纵隔窗(窗宽与窗位: 350HU、 40HU)。同时,选择常规剂量对肺 部可疑病灶扫描,并予以强化扫 描。根据患者情况进行动态增强 扫描,通过高压注射器,以经肘 前静脉团注方式注入优维显(国药 准字号: H20171330, 生产厂家: Bayer AG) 1.2mL/kg, 注射速率 3.0~3.5mL/s, 200kPa, 注意在 注药后15~20s予以扫描。

1.3 观察指标 以术后病理 学为"金标准",观察MSCT诊断 PLC的准确性、特异度、灵敏度; 观察PLC在MSCT诊断中的影像学表现,包括:①病灶分布、大小以及形态表现;②病灶边缘与密度分型;③病灶和其周围组织关系分型。

1.4 统计学分析 采取 SPSS19.0处理数据,利用Kappa 检验法予以一致性分析,其中, Kappa值>0.4表示具有一致性。

2 结 果

2.1 MSCT与术后病理学 诊断对照 见表1。MSCT诊断 PLC灵敏度86.67%(39/45),特 异度84.85%(28/33),准确性 85.90%(67/78),Kappa值0.71。

2.2 PLC在MSCT诊断中的 影像学表现 (1) 病灶分布、 大小以及形态表现: MSCT诊 断正确的39例患者中,25例 (64.10%) 右肺、14例(35.90%) 左肺: 大小: 病灶面积 1. $2 \text{cm} \times 0.8 \text{cm} \sim 13.1 \text{cm} \times 6.2 \text{cm}$, 平均(6.47±0.71) cm×(3.14±0.35)cm; 形态表 现: 12例(30.77%)不规则斑片阴 影,27例(69.23%) 圆形或者类圆 形阴影。(2)病灶密度分型:13 例(33.33%)为实质高密度影, 18例(46.15%)为低密度影,8 例(20.51%)密度不均匀; 16例 (41.02%)呈现磨砂玻璃样结节, 7例(17.95%)呈现蜂房样结节,9 例(23.08%)空泡征样结节,7例 (17.95%)呈现软组织密度结节。 (3) 病灶边缘分型: 3例(7.69%)边 缘光滑整齐, 36例 (92.31%) 表现 不光滑平整清晰(毛刺征、分叶征 以及小泡征分别为13例、18例、5 例)。(4)和周围组织之间关系分 型: 凹陷征与血管集束征分别为 23例(58.97%)、16例(41.03%)。

2.3 图像分析 见图1-4。

3 讨 论

PLC因为病灶直径较小,患者 临床症状一般不典型, 故较易误 诊。在现代CT扫描技术不断发展 背景下, MSCT应用越来越广泛, 其具有扫描速度快以及图像清晰 等显著优点,患者一次屏气即能 够完成扫描,可防止因呼吸幅度 不均引起病灶细节遗漏, 所采取 的多平面重建技术有效降低了横 断面扫描造成的假阳性率, 可以 为PLC诊断提供非常丰富并且可靠 影像信息[5-7]。MSCT可以检出人体 微小病灶,清晰显示肿块大小、 形态与密度等,同时可清晰呈现 纵隔以及肺门肿大淋巴结, 有效 呈现直径小于2cm的结节^[8-9]。本 组研究显示,术前MSCT诊断PLC灵 敏度86.67%, 特异度84.85%, 准 确性85.90%, Kappa高达0.71, 表 明MSCT与术后病理学诊断具有良 好一致性,准确性、灵敏度与特 异度均较高。研究结果还显示, 27例(69.23%) 圆形或者类圆形阴 影,13例(33.33%)为实质高密度 影,18例(46.15%)为低密度影, 16例(41.02%)呈现磨砂玻璃样结 节,9例(23,08%)空泡征样结节, 36例 (92.31%) 表现不光滑平整清 晰(毛刺征、分叶征以及小泡征分 别为13例、18例、5例),凹陷征 与血管集束征各23例(58.97%)、 16例(41.03%), 与许利平等[10]研 究相符。说明PLC在MSCT中的主要 影像学表现为: 圆形或者类圆形 阴影、低密度影或者实质高密度 影、磨砂玻璃样结节或者空泡征 样结节、分叶征或者毛刺征、凹

表1 MSCT与术后编理学诊断对昭(Gil)

AI MIDUI 与个石州在于沙州内 M (M)			
MSCT	术后病理学		合计
	PLC	非PLC	
PLC	39	5	44
≢PLC	6	28	34
合计	45	33	72

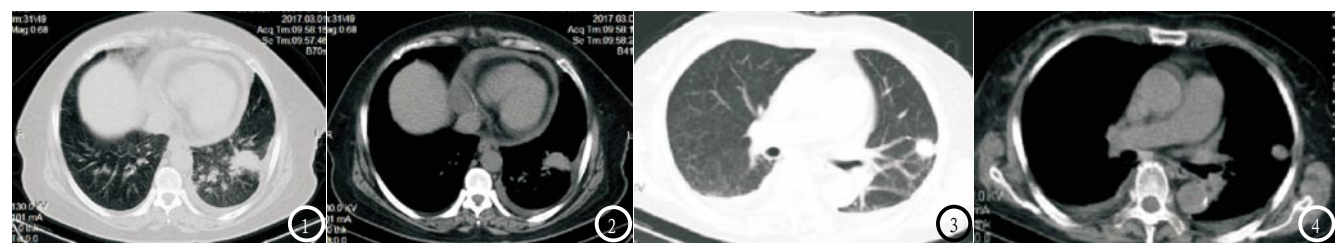


图1-2 性别, 女, 年龄48岁, MSCT显示患者左肺下叶呈现软组织密度影, 并且边缘毛糙, 发现毛刺征以及分叶征象, 周围胸膜出现牵拉改变, 发现胸膜凹陷征。图3-4 性别, 男, 年龄54岁, MSCT显示患者左肺上叶呈现类圆形软组织影, 并且边缘有毛刺征象, 病灶与周围组织关系分型为血管集束征。

陷征或呈现血管集束征。

磨砂玻璃样结节应与空泡征 区别,其可促使肺泡壁产生应激 反应,呈现异常增厚现象,可能 引起肺泡腔闭塞,一般情况下直 径小,必须重点与相似疾病[11-12] 区别。肿瘤临床诊断主要依据包 括空泡征以及细支气管气相,横 断位图像一般无法将支气管气相 断面与空泡征有效区分开来,但 MSCT多平面重建技术可直观呈现 支气管全貌,对于横断位图像显 示的空泡征,很有可能被多平面 重建证实是人体充气细[13-14]支气 管。肺部肿瘤组织生长期间,由 于肺支架结构阻挡以及病灶不等 速浸润生长,可能形成分叶征, 一般为三维生长方向,通过横断 位图像可能无法清晰呈现分叶 征,在多平面重建图像中则能明 确显示。毛刺征主要因肿瘤间质 以及血管向瘤外生长, 并且肿瘤 细胞不断蔓延所致,这种征象呈 放射状,没有分支。凹陷征主要 出现于肺癌患者, 其检出率与肿 瘤位置、大小以及MSCT扫描角度 存在密切联系。血管集束征主要 指肿瘤周围组织异常增粗或者无 增粗改变的肺内邻近段或者分支 血管向肿瘤组织聚集的征象。因 为横断位图像难以呈现垂直或斜 行走向相应血管, 而多平面重建 能够按血管具体走行方向成像, 故其可提高血管集束征显示率,

从而减小假阴性率[15]。

综上所述,MSCT诊断PLC具有较高准确性、灵敏度以及特异度,以病理学结果一致性好,术前MSCT检查可为PLC患者早期有效诊治提供可靠指导。

参考文献

- [1] Hsu J S, Jaw T S, Yang C J, et al. Convex border of peripheral non-small cell lung cancer on CT images as a potential indicator of pleural invasion[J]. Medicine, 2017, 96 (42): e7323.
- [2] Kurimoto, Noriaki. SC19.01 Diagnosis of Lung Cancer: Multimodal Devices for Peripheral Pulmonary Lesions[J]. Journal of Thoracic Oncology, 2017, 12(1): S120-S121.
- [3] 董志坚, 齐敏. 多层螺旋 CT应用于周围型肺癌 TNM分期诊断中的意义 [J]. 实用癌症杂志, 2017, 32 (5): 793-795.
- [4] 谭于飞, 李玲. 周围型肺癌与局灶性机化性肺炎的CT影像特点及鉴别价值分析[J]. 中国CT和MRI杂志, 2018, 16(4): 60-62, 76.
- [5] Safiri S, Ashrafi-Asgarabad
 A. Peripheral Blood Biomarkers
 Associated withClinical
 Outcome in Non-Small Cell
 Lung Cancer Patients Treated
 with Nivolumab: Methodological
 Issues [J]. Journal of Thoracic
 Oncology, 2018, 13 (5): e85-e86.
- [6] Harris K, Puchalski J, Sterman D. Recent Advances in Bronchoscopic Treatment of Peripheral Lung Cancers [J].

Chest, 2017, 151 (3): 674-685.

- [7] 詹先进, 郑大伟. CT增强扫描技术在周围型肺癌淋巴结转移的诊断研究[J]. 中国CT和MRI杂志, 2017, 15(10): 46-48.
- [8] 梁远凤, 李琦, 罗天友. 能谱CT平扫定量分析鉴别诊断周围型肺癌与结核球[J]. 中国医学影像技术, 2017, 33(8): 1206-1210.
- [9] 郝丽芳, 李素文, 樊云霞. MSCT对2cm 以下的周围型肺癌及炎性结节的临 床诊断价值分析[J]. 临床肺科杂 志, 2018, 23(6): 59-62,
- [10] 许利平, 侯勤明. 64排CT在周围型 肺癌诊断中的临床价值分析[J]. 医学影像学杂志, 2017, 27(12): 2419-2423.
- [11] 王秀波, 卜祥珍, 张鑫. 多层螺旋 CT在早期肺癌筛查中的临床应用价值[J]. 实用癌症杂志, 2017, 32(6): 953-955.
- [12] 刘澜涛, 代光政, 田翠丽, 等. 多层螺旋CT在周围型肺癌和局灶性机化性肺炎鉴别诊断中的价值[J]. 临床与病理杂志, 2017, 37(7): 1438-1444.
- [13] 黄文磊, 沈枫, 姚选军, 等. 多层螺旋 CT对周围型肺癌及局灶性机化性肺 炎的鉴别诊断价值[J]. Ct理论与应 用研究, 2018, 27(4): 112-119.
- [14] 张阿萌, 张鹏天, 康眼训, 等. X线片和多层螺旋CT诊断及鉴别周围型肺癌的对比研究[J]. 现代生物医学进展, 2017, 17(18): 146-149.
- [15] 乔永明, 代瑞. 螺旋CT在周围型肺癌 临床诊断中的研究价值[J]. 中国CT 和MRI杂志, 2017, 15(5): 64-66.

(本文编辑: 刘龙平)

【收稿日期】2019-03-08